

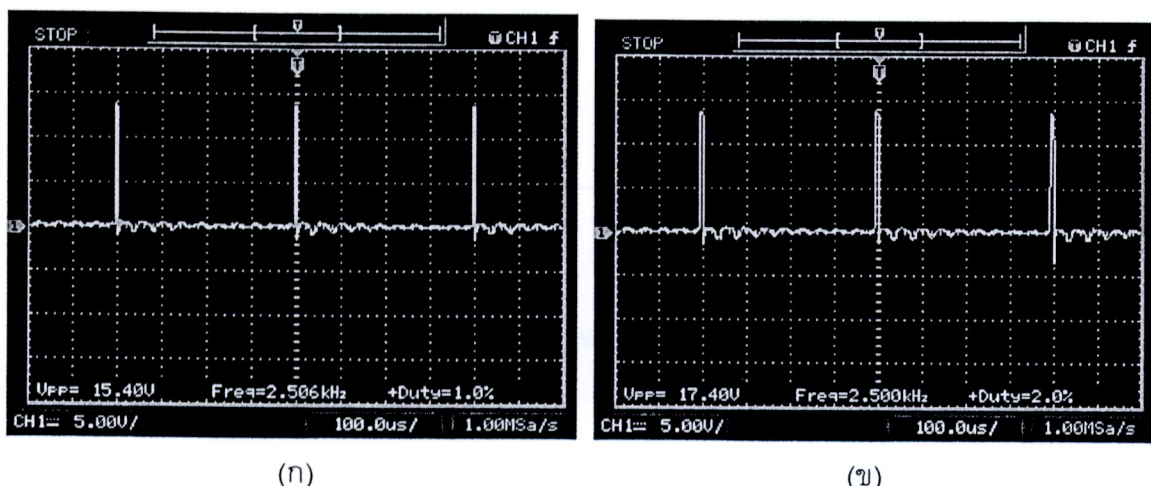
## บทที่ 4

### ผลการทดสอบ

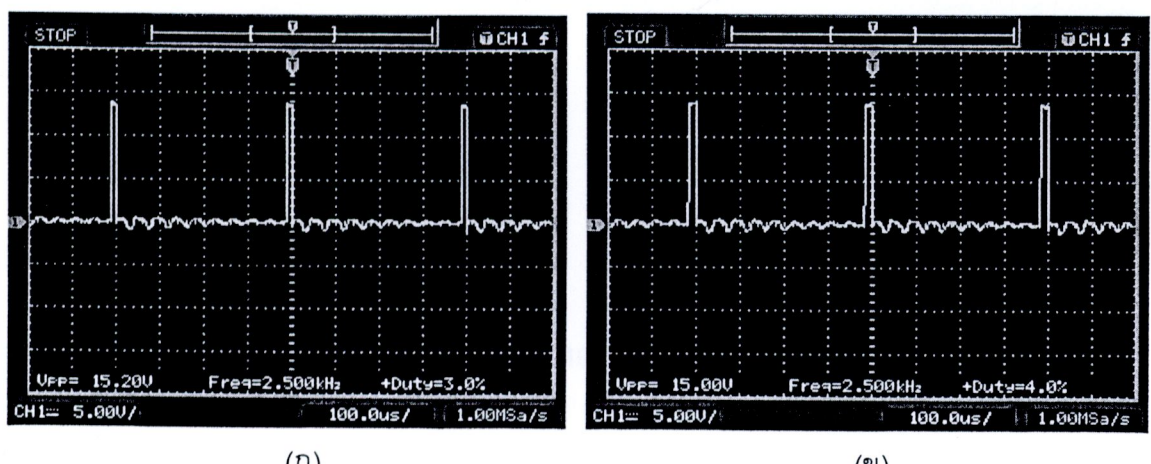
4.1 การทดสอบวงจรส่วนต่างๆ ในแหล่งจ่ายไฟฟ้ากระแสสลับแรงสูงความถี่สูง (ทำการทดสอบทั้งหมด 4 ส่วนด้วยกัน คือ ภาคอินพุต ภาควงจรควบคุม ภาควงจรกำลัง และภาคเอาต์พุต)

#### 4.1.1 การทดสอบวัดสัญญาณภาควงจรควบคุม

4.1.1.1 ทำการวัดสัญญาณด้านเอาต์พุตของไอซีเบอร์ TL494 ที่สามารถปรับไดร์ตี้ไซเคิลได้ 1%, 2%, 3% และ 4% และคงค่าความถี่ไว้ที่ 2.5 kHz



รูปที่ 4.1 (ก) สัญญาณเอาต์พุตของไอซีเบอร์ TL494 (ไดร์ตี้ไซเคิล 1%) และ (ข) สัญญาณเอาต์พุตของไอซีเบอร์ TL494 (ไดร์ตี้ไซเคิล 2%) ขณะต่อโหลด

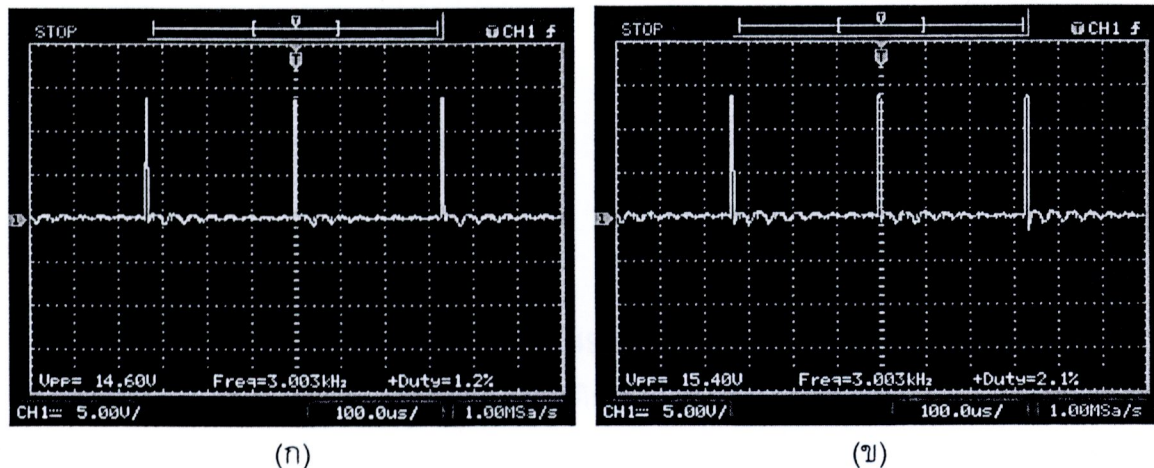


รูปที่ 4.2 (ก) สัญญาณเอาต์พุตของไอซีเบอร์ TL494 (ไดร์ตี้ไซเคิล 3%) และ (ข) สัญญาณเอาต์พุตของไอซีเบอร์ TL494 (ไดร์ตี้ไซเคิล 4%) ขณะต่อโหลด

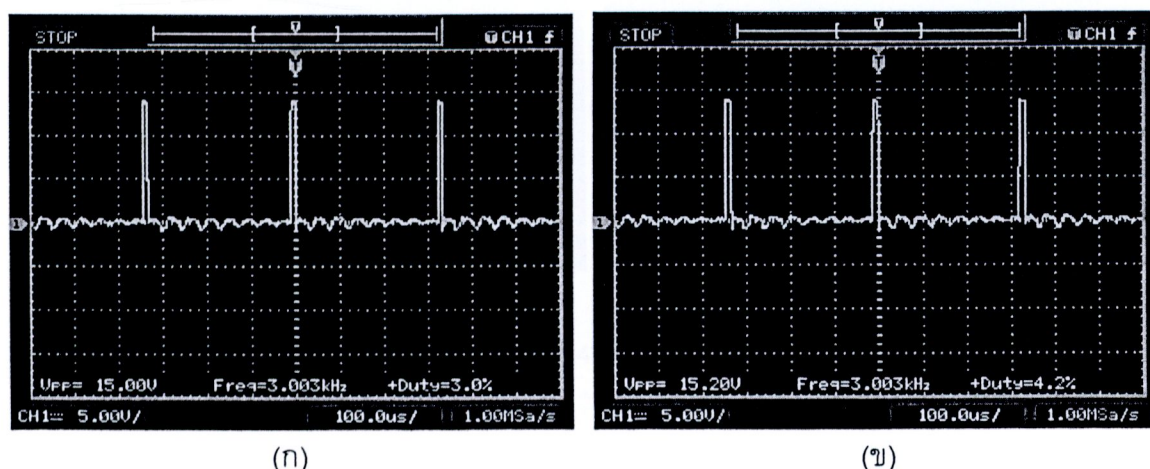
รูปที่ 4.1 และรูปที่ 4.2 เป็นรูปสัญญาณเอาต์พุตที่ขา 9 และขา 10 รวมกัน ของไอซีเบอร์ TL494 โดยผลการทดสอบจะเห็นว่ารูปสัญญาณที่ได้เป็นรูปสัญญาณพัลลส์สี่เหลี่ยมที่สามารถ

ปรับดิวตี้ไซเคิลได้ตั้งแต่ 1% จนถึง 4% โดยสามารถคงค่าความถี่ไว้ที่ 2.5 kHz ซึ่งเป็นไปตามวัตถุประสงค์และขอบเขตที่กำหนดไว้

4.1.1.2 ทำการวัดสัญญาณด้านเอาต์พุตของไอซีเบอร์ TL494 ที่สามารถปรับดิวตี้ไซเคิลได้ 1%, 2%, 3% และ 4% และคงค่าความถี่ให้เท่ากับ 3 kHz



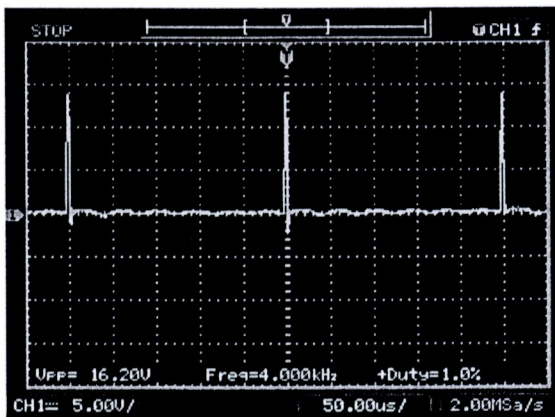
รูปที่ 4.3 (ก) สัญญาณเอาต์พุตของไอซีเบอร์ TL494 (ดิวตี้ไซเคิล 1%) และ (ข) สัญญาณเอาต์พุตของไอซีเบอร์ TL494 (ดิวตี้ไซเคิล 2%) ขณะต่อโหลด



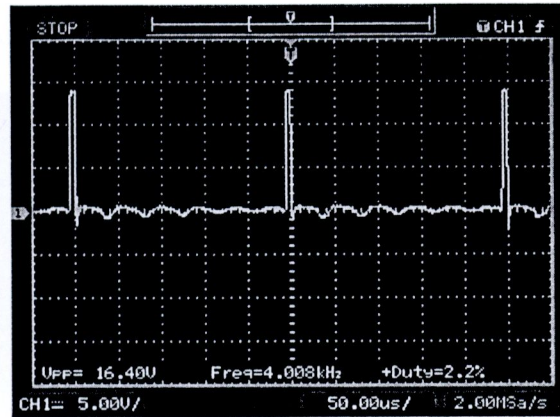
รูปที่ 4.4 (ก) สัญญาณเอาต์พุตของไอซีเบอร์ TL494 (ดิวตี้ไซเคิล 3%) และ (ข) สัญญาณเอาต์พุตของไอซีเบอร์ TL494 (ดิวตี้ไซเคิล 4%) ขณะต่อโหลด

รูปที่ 4.3 และรูปที่ 4.4 เป็นรูปสัญญาณเอาต์พุตที่ขา 9 และขา 10 รวมกัน ของไอซีเบอร์ TL494 โดยผลการทดสอบจะเห็นว่ารูปสัญญาณที่ได้เป็นรูปสัญญาณพัลส์สี่เหลี่ยมที่สามารถปรับดิวตี้ไซเคิลได้ตั้งแต่ 1% จนถึง 4% โดยสามารถคงค่าความถี่ไว้ที่ 3 kHz ซึ่งเป็นไปตามวัตถุประสงค์และขอบเขตที่กำหนดไว้

4.1.1.3 ทำการวัดสัญญาณด้านเอาต์พุตของไอซีเบอร์ TL494 ที่สามารถปรับดิวตี้ไซเคิลได้ 1%, 2%, 3% และ 4% และคงค่าความถี่ให้เท่ากับ 4 kHz

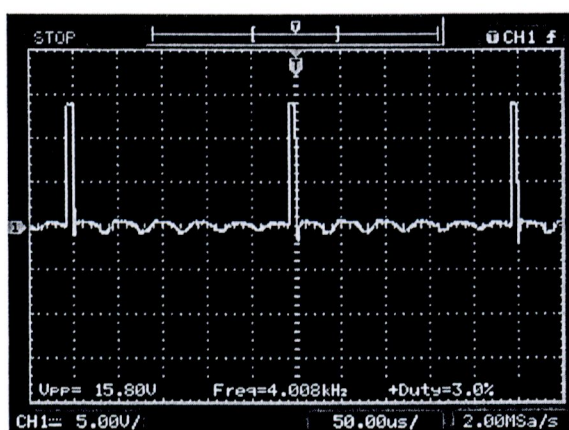


(ก)

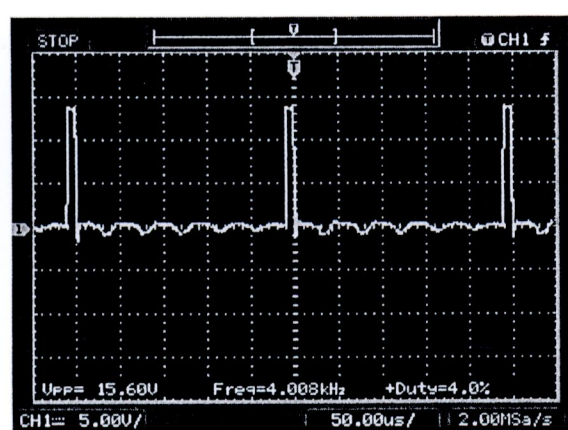


(ข)

รูปที่ 4.5 (ก) สัญญาณเอาต์พุตของไอซีเบอร์ TL494 (ดิวตี้ไซเคิล 1%) และ (ข) สัญญาณเอาต์พุตของไอซีเบอร์ TL494 (ดิวตี้ไซเคิล 2%) ขณะต่อแหล่ง



(ก)



(ข)

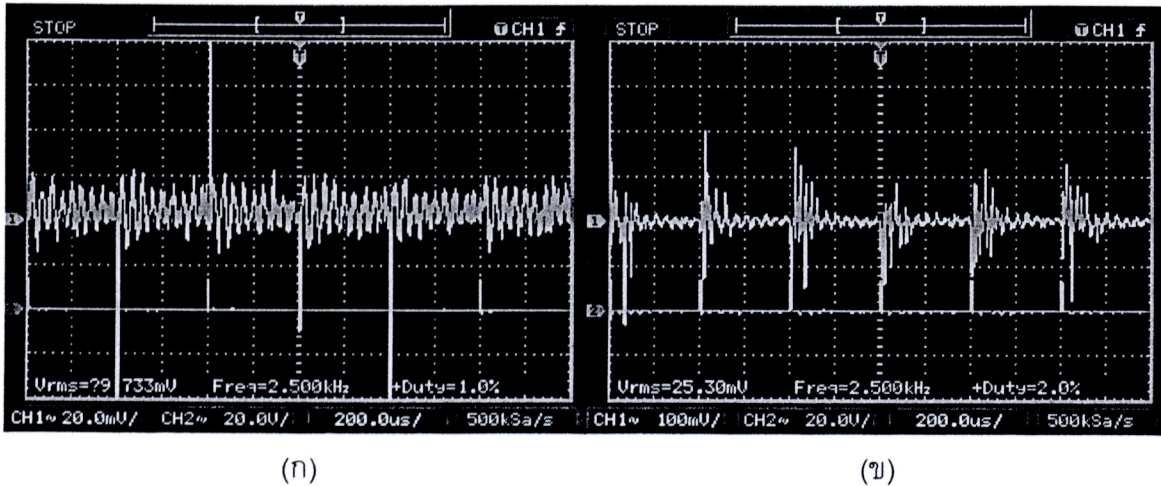
รูปที่ 4.6 (ก) สัญญาณเอาต์พุตของไอซีเบอร์ TL494 (ดิวตี้ไซเคิล 3%) และ (ข) สัญญาณเอาต์พุตของไอซีเบอร์ TL494 (ดิวตี้ไซเคิล 4%) ขณะต่อแหล่ง

รูปที่ 4.5 และรูปที่ 4.6 เป็นรูปสัญญาณเอาต์พุตที่ขา 9 และขา 10 รวมกัน ของไอซีเบอร์ TL494 โดยผลการทดสอบจะเห็นว่ารูปสัญญาณที่ได้เป็นรูปสัญญาณพัลส์สี่เหลี่ยมที่สามารถปรับดิวตี้ไซเคิลได้ดังแต่ 1% จนถึง 4% โดยสามารถคงค่าความถี่ไว้ที่ 4 kHz ซึ่งเป็นไปตามวัตถุประสงค์และขอบเขตที่กำหนดไว้

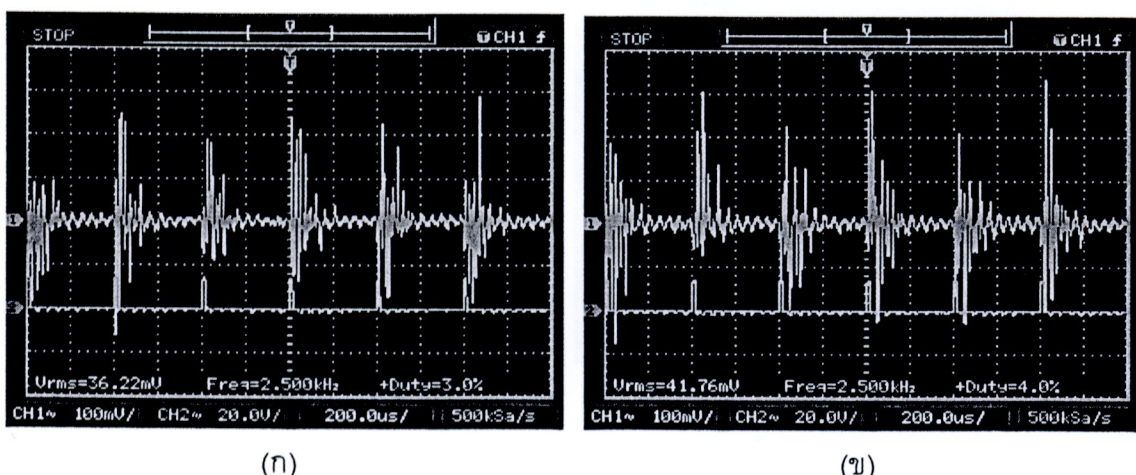


#### 4.1.2 การทดสอบวัดสัญญาณ ( $V_{GS}$ ) ของภาควงจรกำลัง และกระแสไฟฟ้าเอาต์พุตของหม้อแปลงฟลายแบค ( $I_{OUT}$ )

4.1.2.1 ทำการวัดสัญญาณแรงดันไฟฟ้าที่ขาเกทและขาซอร์สของเพาเวอร์มอสเฟต ( $V_{GS}$ ) และกระแสไฟฟ้าเอาต์พุต พร้อมทั้งคงค่าความถี่ไว้ที่ 2.5 kHz



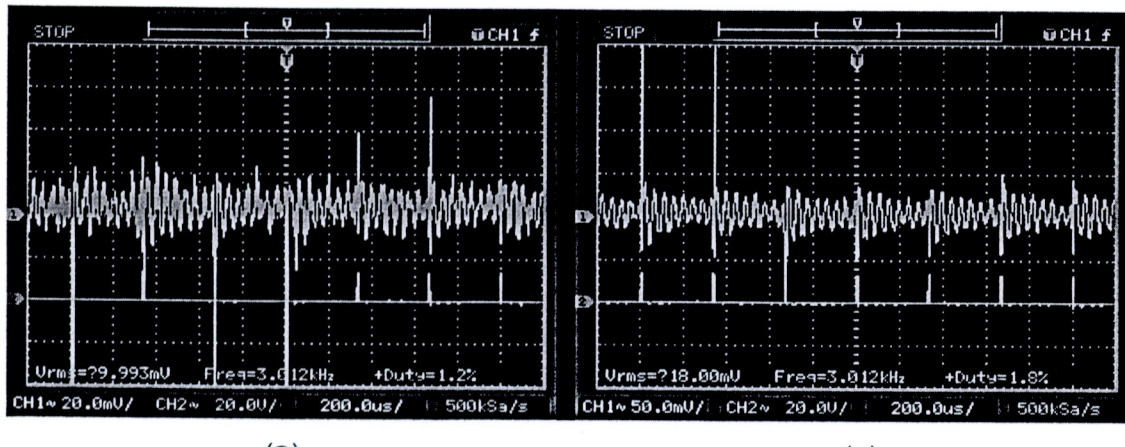
รูปที่ 4.7 (ก) สัญญาณ  $V_{GS}$  ของเพาเวอร์มอสเฟต และกระแสไฟฟ้าเอาต์พุต (ดิวตี้ไซเคิล 1%) และ (ข) สัญญาณ  $V_{GS}$  ของเพาเวอร์มอสเฟต และกระแสไฟฟ้าเอาต์พุต (ดิวตี้ไซเคิล 2%) ขณะต่อโหลด



รูปที่ 4.8 (ก) สัญญาณ  $V_{GS}$  ของเพาเวอร์มอสเฟต และกระแสไฟฟ้าเอาต์พุต (ดิวตี้ไซเคิล 3%) และ (ข) สัญญาณ  $V_{GS}$  ของเพาเวอร์มอสเฟต และกระแสไฟฟ้าเอาต์พุต (ดิวตี้ไซเคิล 4%) ขณะต่อโหลด

รูปที่ 4.7 และรูปที่ 4.8 เป็นรูปสัญญาณแรงดันไฟฟ้าที่ขาเกทและขาซอร์ส ( $V_{GS}$ ) ของเพาเวอร์มอสเฟต โดยผลการทดสอบจะเห็นว่ารูปสัญญาณที่ได้เป็นรูปสัญญาณพัลส์สี่เหลี่ยมที่สามารถปรับดิวตี้ไซเคิลได้ตั้งแต่ 1% จนถึง 4% แต่คงค่าความถี่ไว้ที่ 2.5 kHz ซึ่งสามารถนำมาใช้ในการควบคุมการนำกระแสไฟฟ้าของเพาเวอร์มอสเฟตตามที่ต้องการ โดยที่รูปสัญญาณกระแสไฟฟ้าเอาต์พุต จะเพิ่มขึ้นตามดิวตี้ไซเคิลที่เพิ่มขึ้น

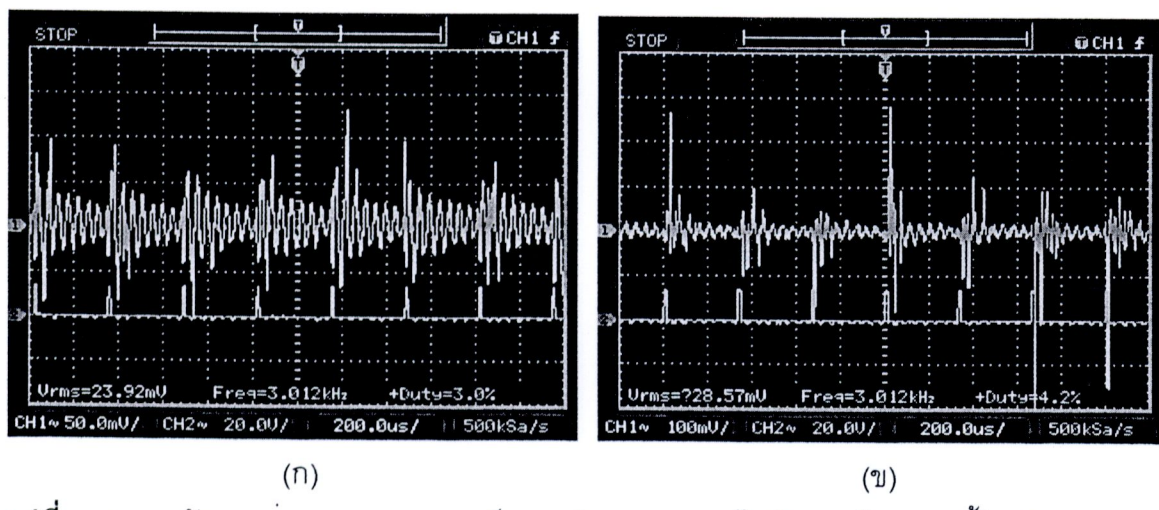
4.1.2.2 ทำการวัดสัญญาณแรงดันไฟฟ้าที่ขาเกทและขาซอร์สของเพาเวอร์มอสเฟต ( $V_{GS}$ ) และ กระแสไฟฟ้าเอาต์พุต พร้อมทั้งคงค่าความถี่ไว้ที่ 3 kHz



(ก)

(ข)

รูปที่ 4.9 (ก) สัญญาณ  $V_{GS}$  ของเพาเวอร์มอสเฟต และกระแสไฟฟ้าเอาต์พุต (ดิวตี้ไซเคิล 1%)  
และ (ข) สัญญาณ  $V_{GS}$  ของเพาเวอร์มอสเฟต และกระแสไฟฟ้าเอาต์พุต (ดิวตี้ไซเคิล 2%)  
ขณะต่อโอลด์



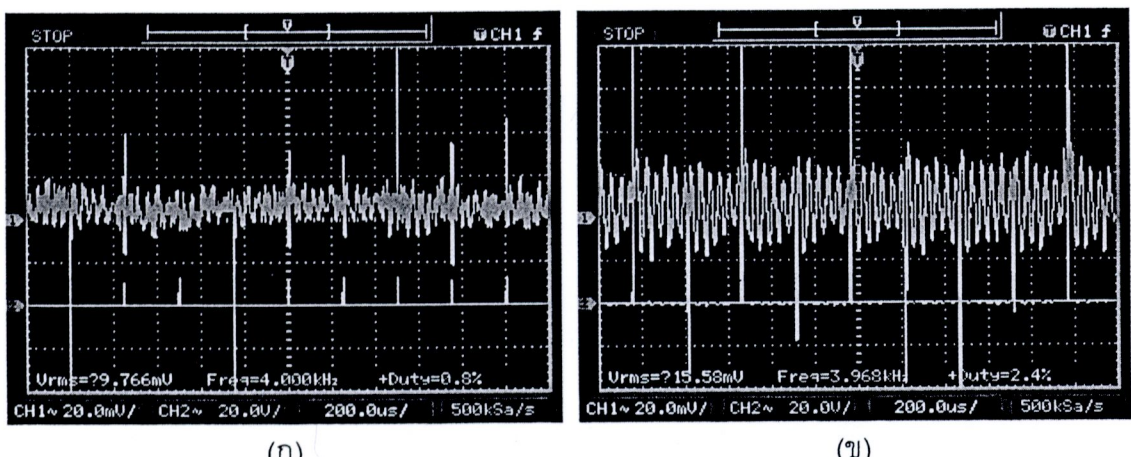
(ก)

(ข)

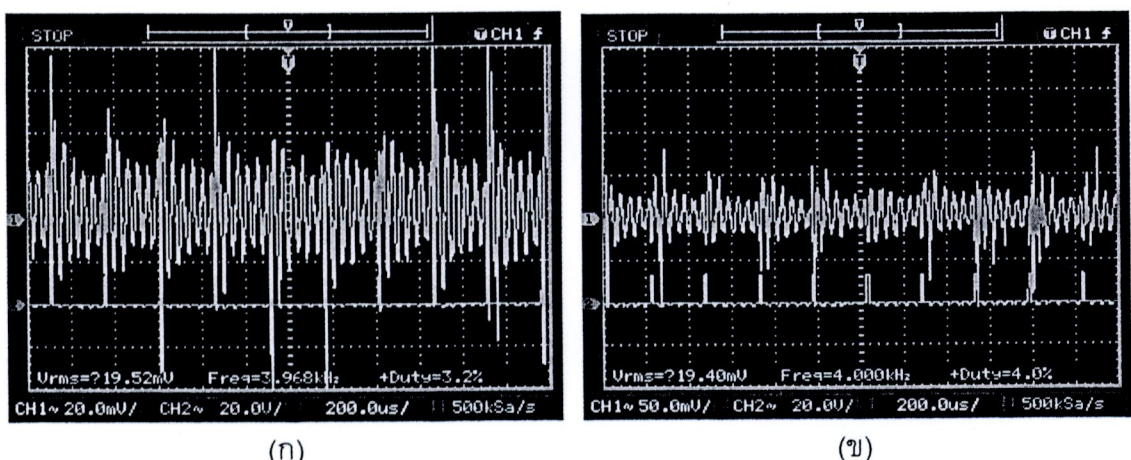
รูปที่ 4.10 (ก) สัญญาณ  $V_{GS}$  ของเพาเวอร์มอสเฟต และกระแสไฟฟ้าเอาต์พุต (ดิวตี้ไซเคิล 3%)  
และ (ข) สัญญาณ  $V_{GS}$  ของเพาเวอร์มอสเฟต และกระแสไฟฟ้าเอาต์พุต (ดิวตี้ไซเคิล 4%)  
ขณะต่อโอลด์

รูปที่ 4.9 และรูปที่ 4.10 เป็นรูปสัญญาณแรงดันไฟฟ้าที่ขาเกทและขาซอร์ส ( $V_{GS}$ ) ของ เพาเวอร์มอสเฟต โดยผลการทดสอบจะเห็นว่ารูปสัญญาณที่ได้เป็นรูปสัญญาณพัลส์สี่เหลี่ยมที่ สามารถปรับดิวตี้ไซเคิลได้ตั้งแต่ 1% จนถึง 4% แต่คงค่าความถี่ไว้ที่ 3 kHz ซึ่งสามารถนำมาใช้ในการควบคุมการนำกระแสไฟฟ้าของเพาเวอร์มอสเฟตตามที่ต้องการ โดยที่รูปสัญญาณกระแสไฟฟ้าเอาต์พุตจะเพิ่มขึ้นตามดิวตี้ไซเคิลที่เพิ่มขึ้น

4.1.2.3 ทำการวัดสัญญาณแรงดันไฟฟ้าที่ขาเกทและขาซอร์สของเพาเวอร์มอสเฟต ( $V_{GS}$ ) และกระแสไฟฟ้าเอาต์พุต พร้อมทั้งคงค่าความถี่ไว้ที่ 4 kHz



รูปที่ 4.11 (ก) สัญญาณ  $V_{GS}$  ของเพาเวอร์มอสเฟต และกระแสไฟฟ้าเอาต์พุต (ดิวตี้ไซเคิล 1%)  
และ (ข) สัญญาณ  $V_{GS}$  ของเพาเวอร์มอสเฟต และกระแสไฟฟ้าเอาต์พุต (ดิวตี้ไซเคิล 2%)  
ขณะต่อโหลด

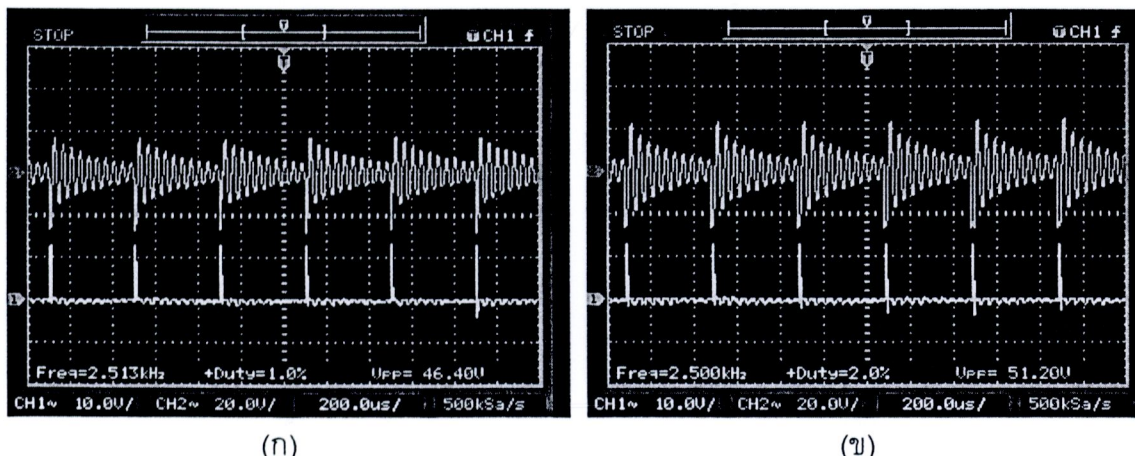


รูปที่ 4.12 (ก) สัญญาณ  $V_{GS}$  ของเพาเวอร์มอสเฟต และกระแสไฟฟ้าเอาต์พุต (ดิวตี้ไซเคิล 3%)  
และ (ข) สัญญาณ  $V_{GS}$  ของเพาเวอร์มอสเฟต และกระแสไฟฟ้าเอาต์พุต (ดิวตี้ไซเคิล 4%)  
ขณะต่อโหลด

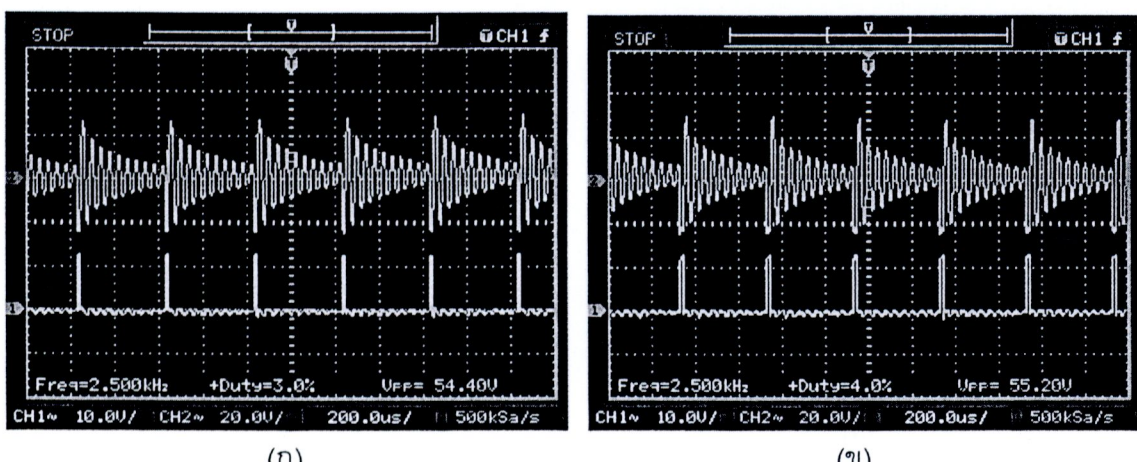
รูปที่ 4.11 และรูปที่ 4.12 เป็นรูปสัญญาณแรงดันไฟฟ้าที่ขาเกทและขาซอร์ส ( $V_{GS}$ ) ของเพาเวอร์มอสเฟต โดยผลการทดสอบจะเห็นว่ารูปสัญญาณที่ได้เป็นรูปสัญญาณพัลส์สีเหลืองที่สามารถปรับดิวตี้ไซเคิลได้ตั้งแต่ 1% จนถึง 4% แต่คงค่าความถี่ไว้ที่ 4 kHz ซึ่งสามารถนำมาใช้ในการควบคุมการนำกระแสไฟฟ้าของเพาเวอร์มอสเฟตตามที่ต้องการ โดยที่รูปสัญญาณกระแสไฟฟ้าเอาต์พุตจะเพิ่มขึ้นตามดิวตี้ไซเคิลที่เพิ่มขึ้น

#### 4.1.3 การทดสอบวัดสัญญาณ $V_{GS}$ และ $V_{DS}$ ของภาควงจรกำลัง

- 4.1.3.1 ทำการวัดสัญญาณแรงดันไฟฟ้าที่ขาเกทและขาซอร์สของเพาเวอร์มอสเฟต ( $V_{GS}$ ) และ สัญญาณแรงดันไฟฟ้าที่ขาเดรนและขาซอร์สของเพาเวอร์มอสเฟต ( $V_{DS}$ ) พร้อมทั้งคงค่า ความถี่ไว้ที่ 2.5 kHz (ปรับดิวตี้ไซเคิลตั้งแต่ 1%, 2%, 3% และ 4%)



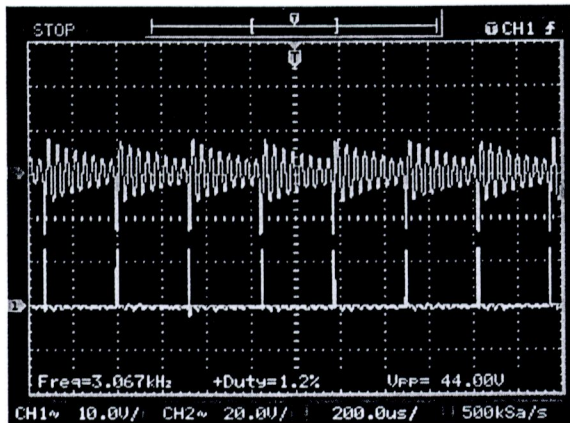
รูปที่ 4.13 (ก) สัญญาณ  $V_{GS}$  และ  $V_{DS}$  ของเพาเวอร์มอสเฟต (ดิวตี้ไซเคิล 1%) และ (ข) สัญญาณ  $V_{GS}$  และ  $V_{DS}$  ของเพาเวอร์มอสเฟต (ดิวตี้ไซเคิล 2%) ขณะต่อโอลด์



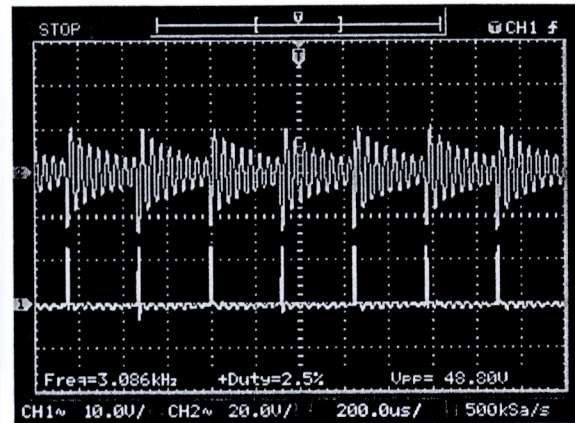
รูปที่ 4.14 (ก) สัญญาณ  $V_{GS}$  และ  $V_{DS}$  ของเพาเวอร์มอสเฟต (ดิวตี้ไซเคิล 1%) และ (ข) สัญญาณ  $V_{GS}$  และ  $V_{DS}$  ของเพาเวอร์มอสเฟต (ดิวตี้ไซเคิล 2%) ขณะต่อโอลด์

รูปที่ 4.13 และรูปที่ 4.14 เป็นรูปสัญญาณแรงดันไฟฟ้าที่ขาเกทและขาซอร์ส ( $V_{GS}$ ) และ  $V_{DS}$  ของเพาเวอร์มอสเฟต โดยผลการทดสอบจะเห็นว่ารูปสัญญาณที่ได้เป็นรูปสัญญาณพัลส์ สี่เหลี่ยมที่สามารถปรับดิวตี้ไซเคิลได้ตั้งแต่ 1% จนถึง 4% แต่คงค่าความถี่ไว้ที่ 2.5 kHz โดยที่รูปสัญญาณ  $V_{DS}$  จะเพิ่มขึ้นตามดิวตี้ไซเคิลที่เพิ่มขึ้น

4.1.3.2 ทำการวัดสัญญาณแรงดันไฟฟ้าที่ขาเกทและขาซอร์สของเพาเวอร์มอสเฟต ( $V_{GS}$ ) และ สัญญาณแรงดันไฟฟ้าที่ขาเดренและขาซอร์สของเพาเวอร์มอสเฟต ( $V_{DS}$ ) พร้อมทั้งคงค่า ความถี่ไว้ที่ 3 kHz (ปรับดิวตี้ไซเคิลตั้งแต่ 1%, 2%, 3% และ 4%)

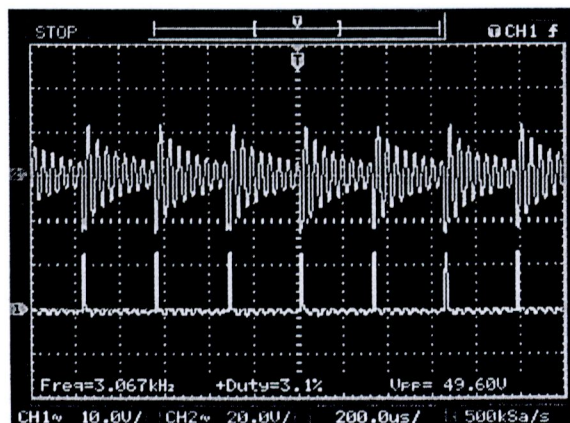


(ก)

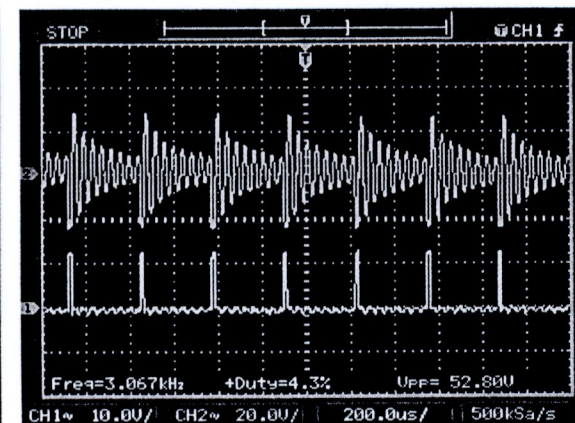


(ข)

รูปที่ 4.15 (ก) สัญญาณ  $V_{GS}$  และ  $V_{DS}$  ของเพาเวอร์มอสเฟต (ดิวตี้ไซเคิล 1%) และ (ข) สัญญาณ  $V_{GS}$  และ  $V_{DS}$  ของเพาเวอร์มอสเฟต (ดิวตี้ไซเคิล 2%) ขณะต่อโหลด



(ก)

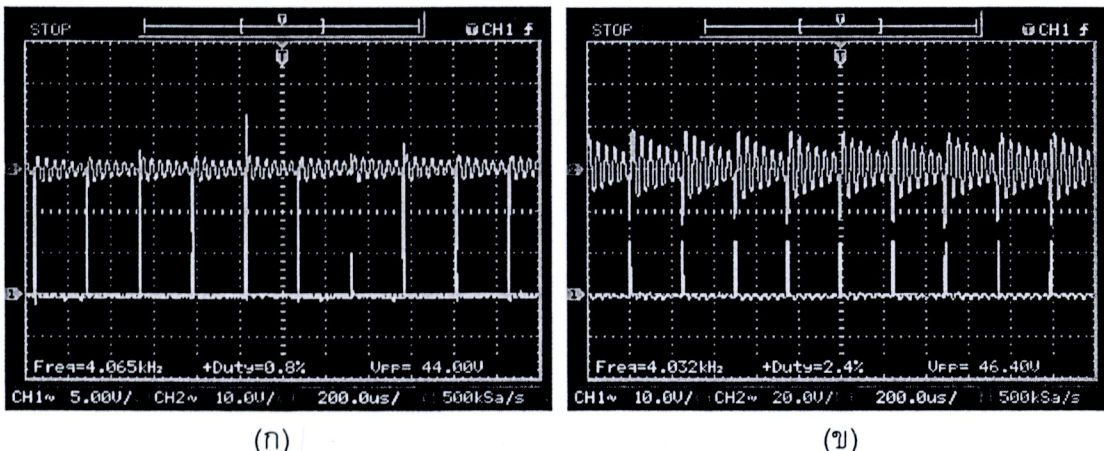


(ข)

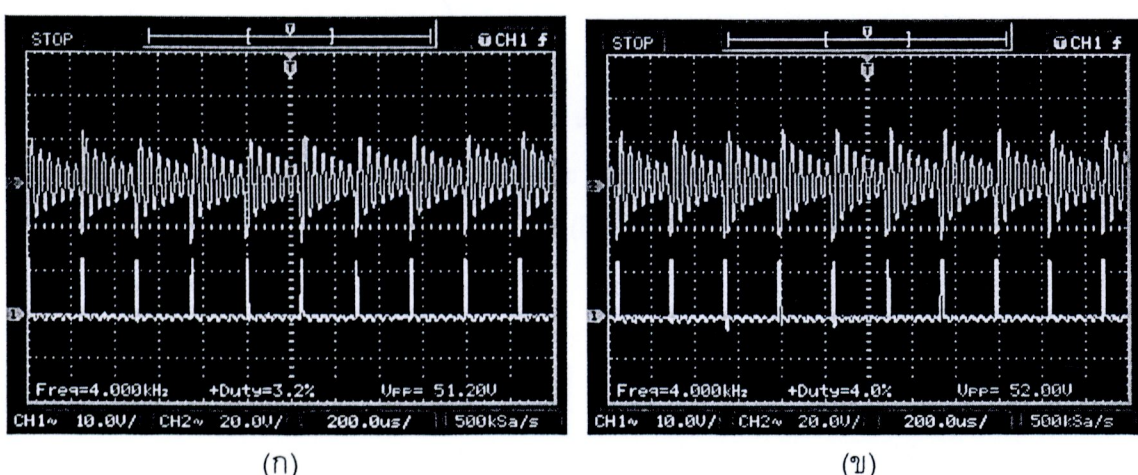
รูปที่ 4.16 (ก) สัญญาณ  $V_{GS}$  และ  $V_{DS}$  ของเพาเวอร์มอสเฟต (ดิวตี้ไซเคิล 1%) และ (ข) สัญญาณ  $V_{GS}$  และ  $V_{DS}$  ของเพาเวอร์มอสเฟต (ดิวตี้ไซเคิล 2%) ขณะต่อโหลด

รูปที่ 4.15 และรูปที่ 4.16 เป็นรูปสัญญาณแรงดันไฟฟ้าที่ขาเกทและขาซอร์ส ( $V_{GS}$ ) และ  $V_{DS}$  ของเพาเวอร์มอสเฟต โดยผลการทดสอบจะเห็นว่ารูปสัญญาณที่ได้เป็นรูปสัญญาณพัลส์ สี่เหลี่ยมที่สามารถปรับดิวตี้ไซเคิลได้ตั้งแต่ 1% จนถึง 4% แต่คงค่าความถี่ไว้ที่ 3 kHz โดยที่รูปสัญญาณ  $V_{DS}$  จะเพิ่มขึ้นตามดิวตี้ไซเคิลที่เพิ่มขึ้น

4.1.3.3 ทำการวัดสัญญาณแรงดันไฟฟ้าที่ขาเกทและขาซอร์สของเพาเวอร์มอสเฟต ( $V_{GS}$ ) และ สัญญาณแรงดันไฟฟ้าที่ขาเดรนและขาซอร์สของเพาเวอร์มอสเฟต ( $V_{DS}$ ) พร้อมทั้งคงค่า ความถี่ไว้ที่ 4 kHz (ปรับดิวตี้ไซเคิลตั้งแต่ 1%, 2%, 3% และ 4%)



รูปที่ 4.17 (ก) สัญญาณ  $V_{GS}$  และ  $V_{DS}$  ของเพาเวอร์มอสเฟต (ดิวตี้ไซเคิล 1%) และ (ข) สัญญาณ  $V_{GS}$  และ  $V_{DS}$  ของเพาเวอร์มอสเฟต (ดิวตี้ไซเคิล 2%) ขณะต่อโหลด



รูปที่ 4.18 (ก) สัญญาณ  $V_{GS}$  และ  $V_{DS}$  ของเพาเวอร์มอสเฟต (ดิวตี้ไซเคิล 1%) และ (ข) สัญญาณ  $V_{GS}$  และ  $V_{DS}$  ของเพาเวอร์มอสเฟต (ดิวตี้ไซเคิล 2%) ขณะต่อโหลด

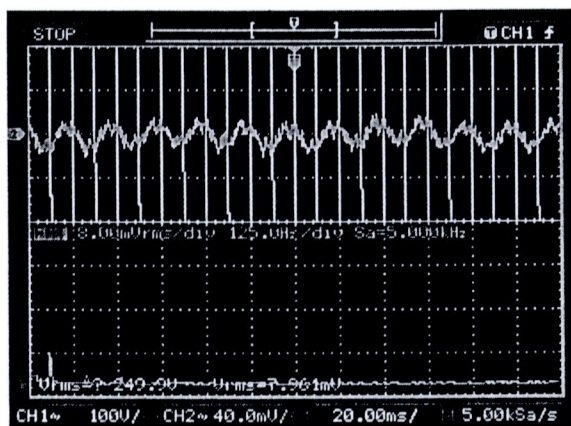
รูปที่ 4.17 และรูปที่ 4.18 เป็นรูปสัญญาณแรงดันไฟฟ้าที่ขาเกทและขาซอร์ส ( $V_{GS}$ ) และ  $V_{DS}$  ของเพาเวอร์มอสเฟต โดยผลการทดสอบจะเห็นว่ารูปสัญญาณที่ได้เป็นรูปสัญญาณพัลล์ สี่เหลี่ยมที่สามารถปรับดิวตี้ไซเคิลได้ตั้งแต่ 1% จนถึง 4% แต่คงค่าความถี่ไว้ที่ 4 kHz โดยที่รูปสัญญาณ  $V_{DS}$  จะเพิ่มขึ้นตามดิวตี้ไซเคิลที่เพิ่มขึ้นตามลำดับ

รูปที่ 4.13 ถึง รูปที่ 4.17 เป็นรูปสัญญาณแรงดันไฟฟ้าที่ตอกคร่อมขาเดรนและขาซอร์ส ( $V_{DS}$ ) ของเพาเวอร์มอสเฟตที่มีค่าไม่เกินแรงดันไฟฟ้าที่ตอกคร่อมเพาเวอร์มอสเฟต (ดาต้าชีตมีค่า  $V_{DS}$  เท่ากับ 500 โวลท์) จึงทำให้เกิดความปลดภัยต่อการใช้งานของเพาเวอร์มอสเฟต แต่ถ้า ประการหนึ่งที่นำสังเกต คือ ในรูปสัญญาณ  $V_{DS}$  ที่วัดได้นั้นจะมีรูปสัญญาณ Natural Frequency เข้ามาปนอยู่ด้วย จึงอาจจะส่งผลทำให้ขนาดแรงดันไฟฟ้าที่ตอกคร่อมเพาเวอร์มอสเฟตมีค่าไม่คงที่

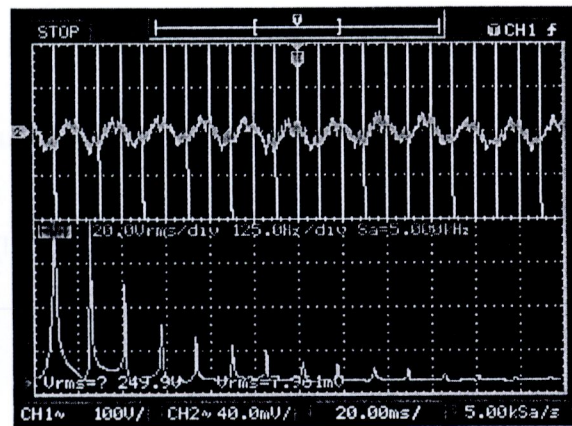
(คือมีการกระเพื่อมของแรงดันไฟฟ้าอยู่)  
mosfet ให้พังเสียหายได้

ซึ่งอาจจะส่งผลกระทบต่อโครงสร้างภายในเพาเวอร์

**4.1.4 การทดสอบวัดสัญญาณภาคอินพุต คือ แรงดันไฟฟ้าอินพุต กระแสไฟฟ้าอินพุต และ สัญญาณ FFT ด้านอินพุตของวงจรคอนเวอร์เตอร์ พร้อมทั้งคงค่าความถี่ให้คงที่ (ปรับดิวตี้ไซเคิลตั้งแต่ 1%, 2%, 3% และ 4%)**

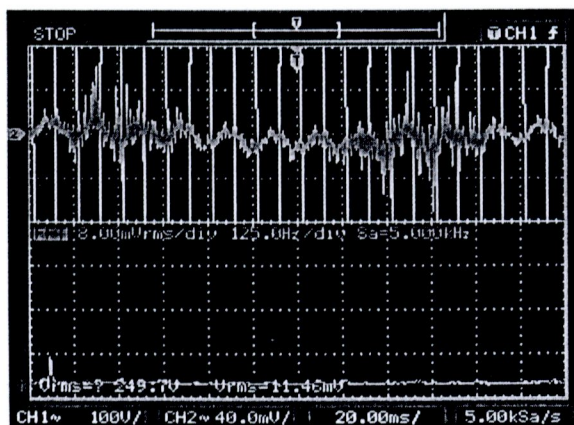


(ก)

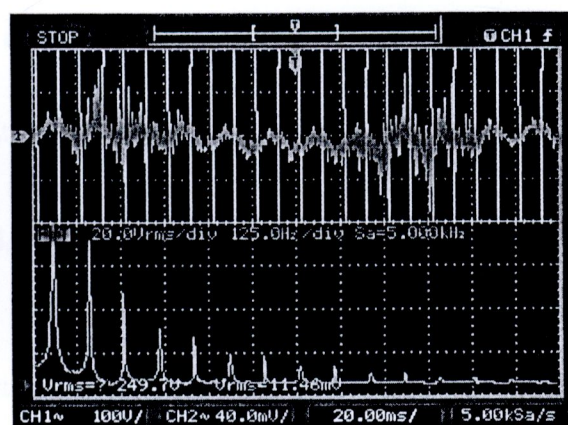


(ข)

รูปที่ 4.19 (ก) สัญญาณแรงดันไฟฟ้าอินพุต ( $V_{in}$ ) และสัญญาณ FFT ของแรงดันไฟฟ้าอินพุต ( $V_{in}$ ) ของวงจรฟลายแบคคอนเวอร์เตอร์ และ (ข) สัญญาณกระแสไฟฟ้าอินพุต ( $I_{in}$ ) และ สัญญาณ FFT ของกระแสไฟฟ้าอินพุต ( $I_{in}$ ) ของวงจรฟลายแบคคอนเวอร์เตอร์ (ดิวตี้ไซเคิล 1%) ขณะต่อโหลด

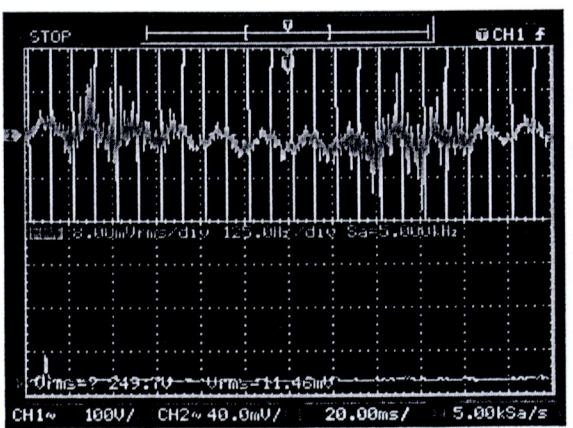


(ก)

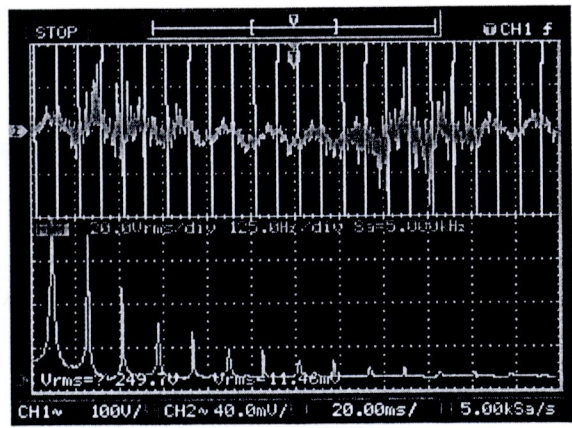


(ข)

รูปที่ 4.20 (ก) สัญญาณแรงดันไฟฟ้าอินพุต ( $V_{in}$ ) และสัญญาณ FFT ของแรงดันไฟฟ้าอินพุต ( $V_{in}$ ) ของวงจรฟลายแบคคอนเวอร์เตอร์ และ (ข) สัญญาณกระแสไฟฟ้าอินพุต ( $I_{in}$ ) และ สัญญาณ FFT ของกระแสไฟฟ้าอินพุต ( $I_{in}$ ) ของวงจรฟลายแบคคอนเวอร์เตอร์ (ดิวตี้ไซเคิล 2%) ขณะต่อโหลด

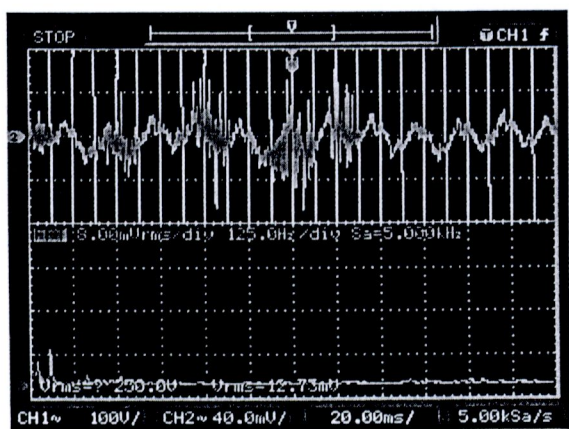


(ก)

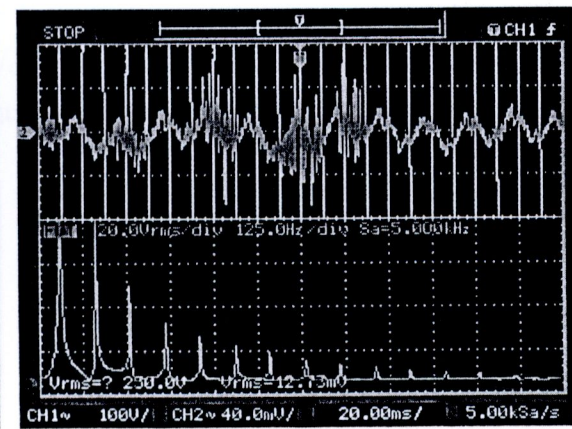


(ข)

รูปที่ 4.21 (ก) สัญญาณแรงดันไฟฟ้าอินพุต ( $V_{in}$ ) และสัญญาณ FFT ของแรงดันไฟฟ้าอินพุต ( $V_{in}$ )  
ของวงจรฟลัตไบแบคค่อนเวอร์เตอร์ และ (ข) สัญญาณกระแสไฟฟ้าอินพุต ( $I_{in}$ ) และ  
สัญญาณ FFT ของกระแสไฟฟ้าอินพุต ( $I_{in}$ ) ของวงจรฟลัตไบแบคค่อนเวอร์เตอร์ (ดิวตี้  
ไซเคิล 3%) ขณะต่อโหลด



(ก)



(ข)

รูปที่ 4.22 (ก) สัญญาณแรงดันไฟฟ้าอินพุต ( $V_{in}$ ) และสัญญาณ FFT ของแรงดันไฟฟ้าอินพุต ( $V_{in}$ )  
ของวงจรฟลัตไบแบคค่อนเวอร์เตอร์ และ (ข) สัญญาณกระแสไฟฟ้าอินพุต ( $I_{in}$ ) และ  
สัญญาณ FFT ของกระแสไฟฟ้าอินพุต ( $I_{in}$ ) ของวงจรฟลัตไบแบคค่อนเวอร์เตอร์ (ดิวตี้  
ไซเคิล 4%) ขณะต่อโหลด

รูปที่ 4.19 และรูปที่ 4.22 เป็นการวัดสัญญาณแรงดันไฟฟ้าอินพุต สัญญาณ  
กระแสไฟฟ้าอินพุต พร้อมทั้งสัญญาณ FFT ของแรงดันไฟฟ้าอินพุต และกระแสไฟฟ้าอินพุต ซึ่งผล  
การทดสอบที่ได้ คือ สัญญาณแรงดันไฟฟ้าอินพุตมีรูปสัญญาณเป็นไซน์ จึงทำให้สัญญาณ FFT ที่ได้  
มีแค่ลำดับที่ 1 (order 1) เท่านั้น แต่สัญญาณกระแสไฟฟ้าอินพุตมีรูปสัญญาณที่ไม่เป็นไซน์ จึงทำ  
ให้สัญญาณ FFT ที่ได้มีดัง Darren ลำดับที่ 2 (order 2) เป็นดังไป ซึ่งสัญญาณแรงดันไฟฟ้าอินพุต และ  
สัญญาณกระแสไฟฟ้าอินพุตจะเพิ่มขึ้นตามดิวตี้ไซเคิลที่เพิ่มขึ้น ขณะต่อโหลด

4.1.5 การทดสอบวัดสัญญาณภาคเอาต์พุต คือ สัญญาณแรงดันไฟฟ้ากระแสสลับแรงสูงด้านเอาต์พุต ( $V_{OUT}$ ) ของหม้อแปลงฟลายแบค ในขณะต่อโหลด (โหลดที่ใช้เป็นเส้นลวด ตัวนำที่วางบนแผ่นกระจากสำหรับสร้างสนามไฟฟ้า เพื่อสังเกตปฏิกิริยาของผึ้ง)



รูปที่ 4.23 (ก) สัญญาณแรงดันไฟฟ้ากระแสสลับแรงสูงด้านเอาต์พุต ( $V_{OUT}$ ) ของหม้อแปลงฟลายแบค มีค่าเท่ากับ 2.041 กิโลโวลท์พีคทุกพีค ที่ดิวตี้ไซเคิล 1% และ (ข) สัญญาณแรงดันไฟฟ้ากระแสสลับแรงสูงด้านเอาต์พุต ( $V_{OUT}$ ) ของหม้อแปลงฟลายแบค มีค่าเท่ากับ 3.241 กิโลโวลท์พีคทุกพีค ที่ดิวตี้ไซเคิล 2% ขณะต่อโหลด



รูปที่ 4.24 (ก) สัญญาณแรงดันไฟฟ้ากระแสสลับแรงสูงด้านเอาต์พุต ( $V_{OUT}$ ) ของหม้อแปลงฟลายแบค มีค่าเท่ากับ 4.001 กิโลโวลท์พีคทุกพีค ที่ดิวตี้ไซเคิล 3% และ (ข) สัญญาณแรงดันไฟฟ้ากระแสสลับแรงสูงด้านเอาต์พุต ( $V_{OUT}$ ) ของหม้อแปลงฟลายแบค มีค่าเท่ากับ 5.281 กิโลโวลท์พีคทุกพีค ที่ดิวตี้ไซเคิล 4% ขณะต่อโหลด

รูปที่ 4.23 และรูปที่ 4.24 เป็นรูปสัญญาณแรงดันไฟฟ้ากระแสสลับแรงสูงด้านเอาต์พุต ของหม้อแปลงฟลายแบค ( $V_{OUT}$ ) ซึ่งผลที่วัดได้มีขนาด 2.041 กิโลโวลท์พีคทุกพีค (ดิวตี้ไซเคิล 1%) ที่ 3.241 กิโลโวลท์พีคทุกพีค (ดิวตี้ไซเคิล 2%) ที่ 4.001 กิโลโวลท์พีคทุกพีค (ดิวตี้ไซเคิล 3%) และที่ 5.281 กิโลโวลท์พีคทุกพีค (ดิวตี้ไซเคิล 4%) ขณะต่อโหลด

#### 4.1.6 ผลการทดสอบวัดค่าพารามิเตอร์ทางไฟฟ้าของแหล่งจ่ายไฟฟ้ากระแสสลับแรงสูงความถี่สูง ตามตารางที่ 4.1

ตารางที่ 4.1 ผลการทดสอบวัดค่าพารามิเตอร์ทางไฟฟ้าของแหล่งจ่ายไฟฟ้ากระแสสลับแรงสูงความถี่สูง ในขณะจ่ายโหลด (โหลดที่ใช้เป็นเส้นลวดตัวนำที่วางบนแผ่นกระดาษสำหรับสร้างสนามไฟฟ้า เพื่อสังเกตปฏิกิริยาของผู้) โดยคงค่าความถี่ไว้ที่ 2.5 kHz

Duty Cycle (%)	f (kHz)	$V_{in\ (rms)}\ (V)$	$V_{OUT,1}\ (kV_{P-P})$	$V_{OUT,2}\ (kV_{max})$
1	2.5	220	2.041	1.321
2	2.5	220	3.241	2.281
3	2.5	220	4.001	2.801
4	2.5	220	5.281	4.001

ความหมายของพารามิเตอร์ในตารางที่ 4.1

Duty Cycle คือ ดิวตี้ไซเคิล (วัดที่ขาเกทและขาออร์สของเพาเวอร์มอสเฟต) (%)

f คือ ความถี่ในวงจรคอนเวอร์เตอร์ (กิโลเฮิรต), (kHz)

$V_{in\ (rms)}$  คือ แรงดันไฟฟ้ากระแสสลับด้านอินพุตของแหล่งจ่ายไฟฟ้ากระแสสลับแรงสูงความถี่สูง (โวลท์), V

$V_{OUT,1}$  คือ แรงดันไฟฟ้ากระแสสลับแรงสูงด้านเอาต์พุตของแหล่งจ่ายไฟฟ้ากระแสสลับแรงสูง ความถี่สูง (กิโลโวลท์พีคทูพีค), ( $kV_{P-P}$ )

$V_{OUT,2}$  คือ แรงดันไฟฟ้ากระแสสลับแรงสูงความถี่สูงด้านเอาต์พุตของแหล่งจ่ายไฟฟ้ากระแสสลับแรงสูงความถี่สูง (กิโลโวลท์แม็ก), ( $kV_{max}$ )

ตารางที่ 4.1 เป็นค่าแรงดันไฟฟ้ากระแสสลับแรงสูงด้านเอาต์พุต 2 ค่า  $V_{OUT,1}$  เป็นแรงดันไฟฟ้ากระแสสลับแรงสูงความถี่สูง ซึ่งอ่านค่าออกมาเป็นหน่วย ( $kV_{P-P}$ ) และ  $V_{OUT,2}$  เป็นแรงดันไฟฟ้ากระแสสลับแรงสูง ซึ่งอ่านค่าออกมาเป็นหน่วย ( $kV_{max}$ ) โดยใช้ออสซิลโลสโคป Agilent Technologies (DSO3152A (DIGITAL STORAGE OSCILLOSCOPE : 150 MHz) เป็นอุปกรณ์วัด (ซึ่งเพิ่มดิวตี้ไซเคิล แต่คงค่าความถี่และแรงดันไฟฟ้าอินพุต)

4.2 ผลการทดสอบ โดยใช้สั่นลดตัวนำที่วางบนแผ่นกระดาษรับสร้างสนามไฟฟ้า เพื่อสังเกตปฏิกิริยาของผึ้ง โดยคงค่าความถี่ไว้ที่ 2.5 kHz ในกรณีศึกษา 4 ครั้ง (ปรับดิวตี้ไซเคิล 1% ที่ 2.041 kV<sub>P-P</sub>, ดิวตี้ไซเคิล 2% ที่ 3.241 kV<sub>P-P</sub>, ดิวตี้ไซเคิล 3% ที่ 4.001 kV<sub>P-P</sub> และ ดิวตี้ไซเคิล 4% ที่ 5.281 kV<sub>P-P</sub>)

ตารางที่ 4.2 ผลการทดสอบ เพื่อสังเกตปฏิกิริยาของผึ้ง ในกรณีศึกษา 4 ครั้ง ที่ระดับแรงดันไฟฟ้า กระแสสลับแรงสูงที่แตกต่างกัน โดยคงค่าความถี่ไว้ที่ 2.5 kHz (ปรับดิวตี้ไซเคิล 1% ที่ 2.041 kV<sub>P-P</sub>, ดิวตี้ไซเคิล 2% ที่ 3.241 kV<sub>P-P</sub>, ดิวตี้ไซเคิล 3% ที่ 4.001 kV<sub>P-P</sub> และ ดิวตี้ไซเคิล 4% ที่ 5.281 kV<sub>P-P</sub>)

Case Study (time)	Duty Cycle (%)	f (kHz)	V <sub>OUT,1</sub> (kV <sub>P-P</sub> )	Bee observation
1	1	2.5	2.041	ผึ้งจะบินมารวมตัวกันบนแผ่นกระดาษจำนวนน้อย
2	2	2.5	3.241	ผึ้งจะบินมารวมตัวกันบนแผ่นกระดาษจำนวนมากขึ้นกว่าในกรณีศึกษาที่ 1 และมีผึ้งบางตัวที่หมุนตัว เพื่อต่อยลงบนแผ่นกระดาษ
3	3	2.5	4.001	ผึ้งจะบินมารวมตัวกันบนแผ่นกระดาษจำนวนมากขึ้นกว่าในกรณีศึกษาที่ 2 และมีบางตัวเกิดรอยไหม้ที่ปีก
4	4	2.5	5.281	ผึ้งจะบินมารวมตัวกันบนแผ่นกระดาษจำนวนมากเท่ากับในกรณีศึกษาที่ 3 และมีบางตัวเกิดรอยไหม้ที่ปีก

ความหมายของพารามิเตอร์ในตารางที่ 4.2

Case Study คือ กรณีศึกษา (ครั้งที่), (time)

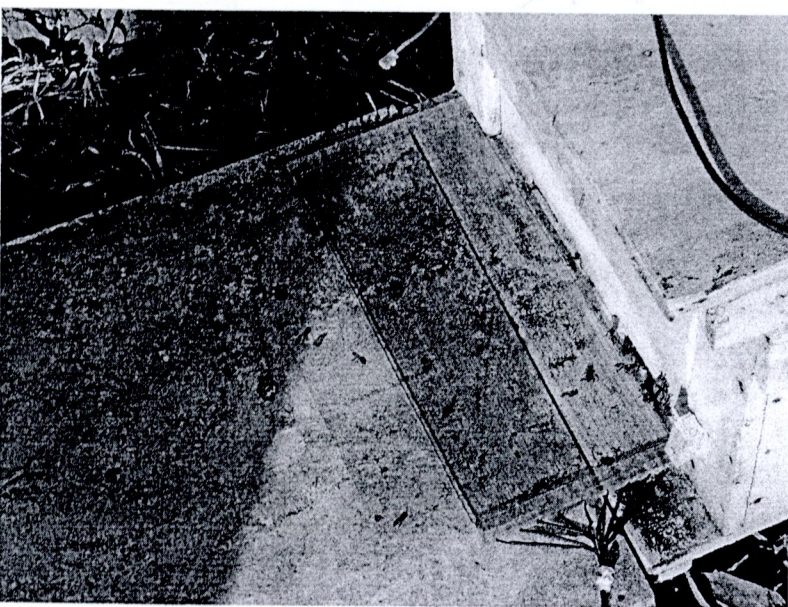
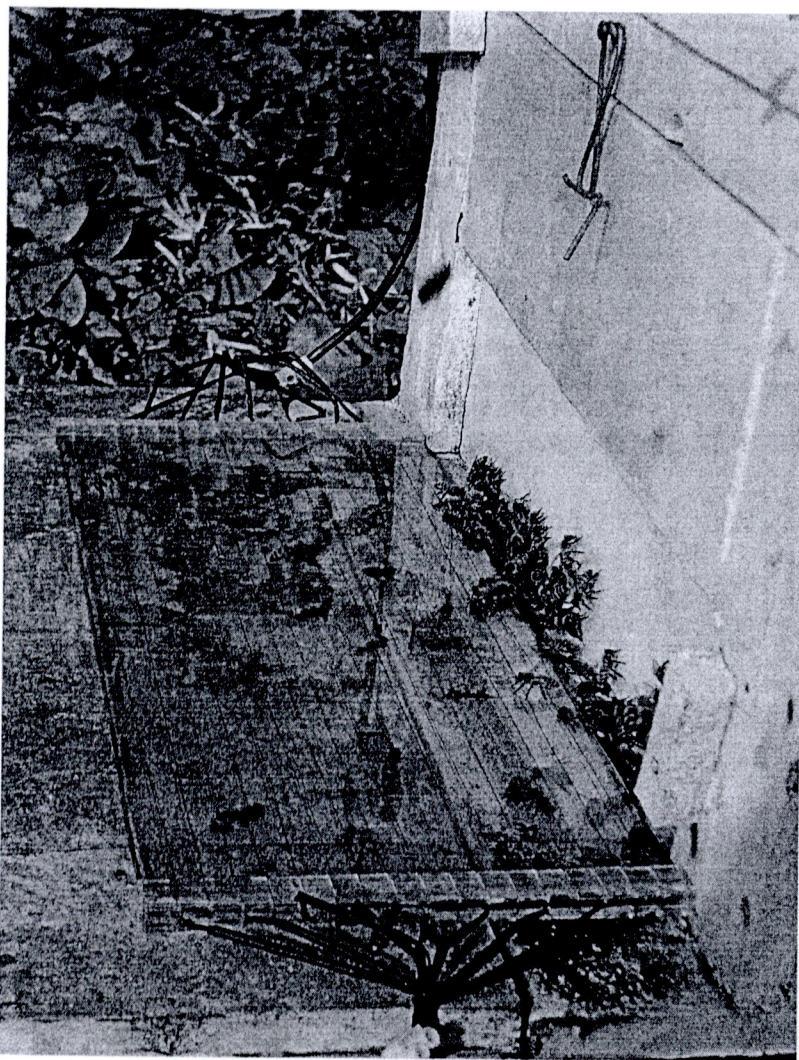
Duty Cycle คือ ดิวตี้ไซเคิล (วัดที่ขาเกทและขาออร์สของเพาเวอร์มอสเฟต) (%)

f คือ ความถี่ในวงจรคอนเวอර์เตอร์ (กิโลเฮิรต์), (kHz)

V<sub>OUT,1</sub> คือ แรงดันไฟฟ้ากระแสสลับแรงสูงด้านเอาต์พุตของแหล่งจ่ายไฟฟ้ากระแสสลับแรงสูง ความถี่สูง (กิโลโวลต์พีคทูพีค), (kV<sub>P-P</sub>)

Bee observation คือ สังเกตปฏิกิริยาของผึ้ง ที่มีสั่นลดตัวนำวางบนแผ่นกระดาษ ในขณะที่ป้อนแรงดันไฟฟ้ากระแสสลับแรงสูงความถี่สูง

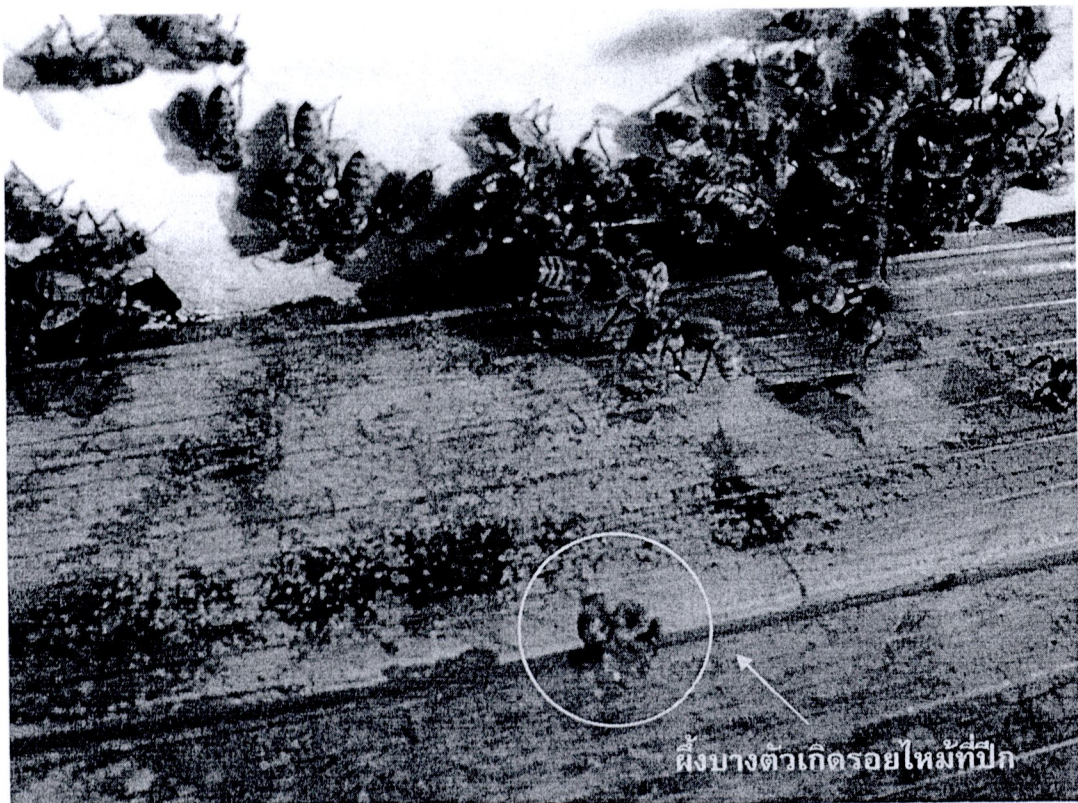




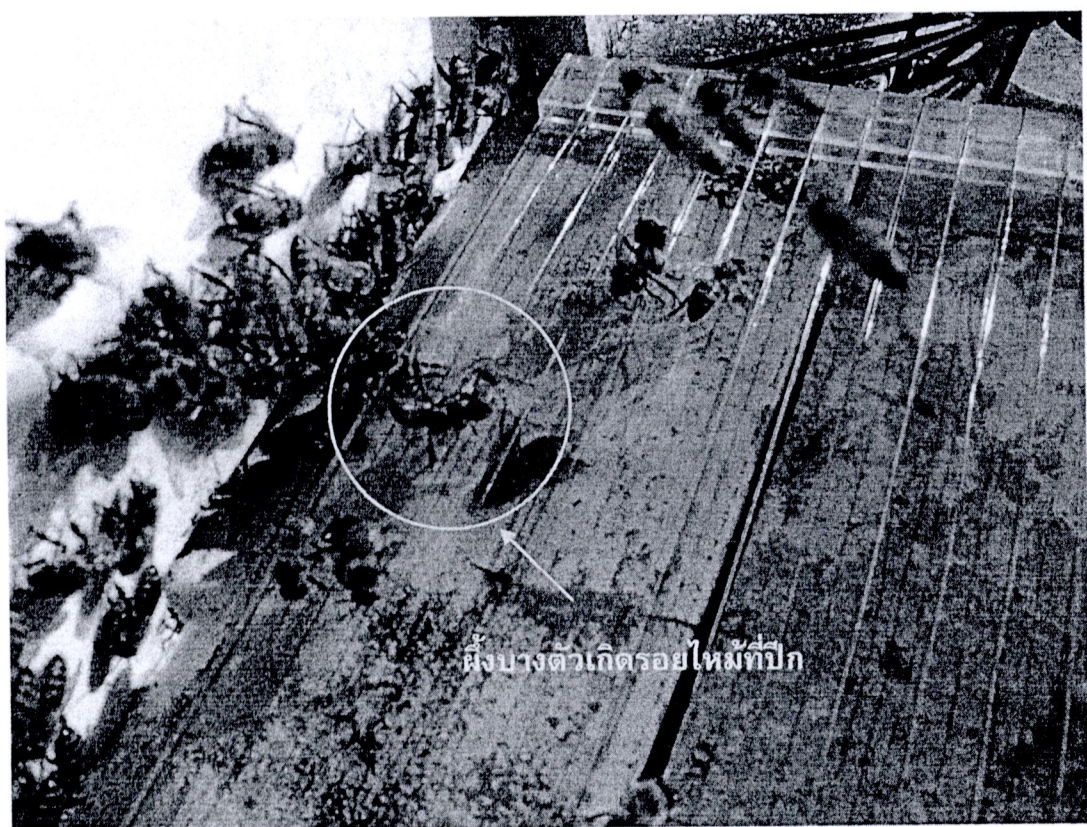
รูปที่ 4.25 กรณีศึกษาที่ 1 ผึ้งจะบินมารวมตัวกันบนแพ่นกระจาดจำนวนน้อย



รูปที่ 4.26 กรณีศึกษาที่ 2 ผึ้งจะบินมารวมตัวกันบนแผ่นกระจากจำนวนมากขึ้นกว่าในกรณีศึกษาที่ 1 และมีผึ้งบางดัวที่หมุนตัว เพื่อต่ออยลับบนแผ่นกระจาก

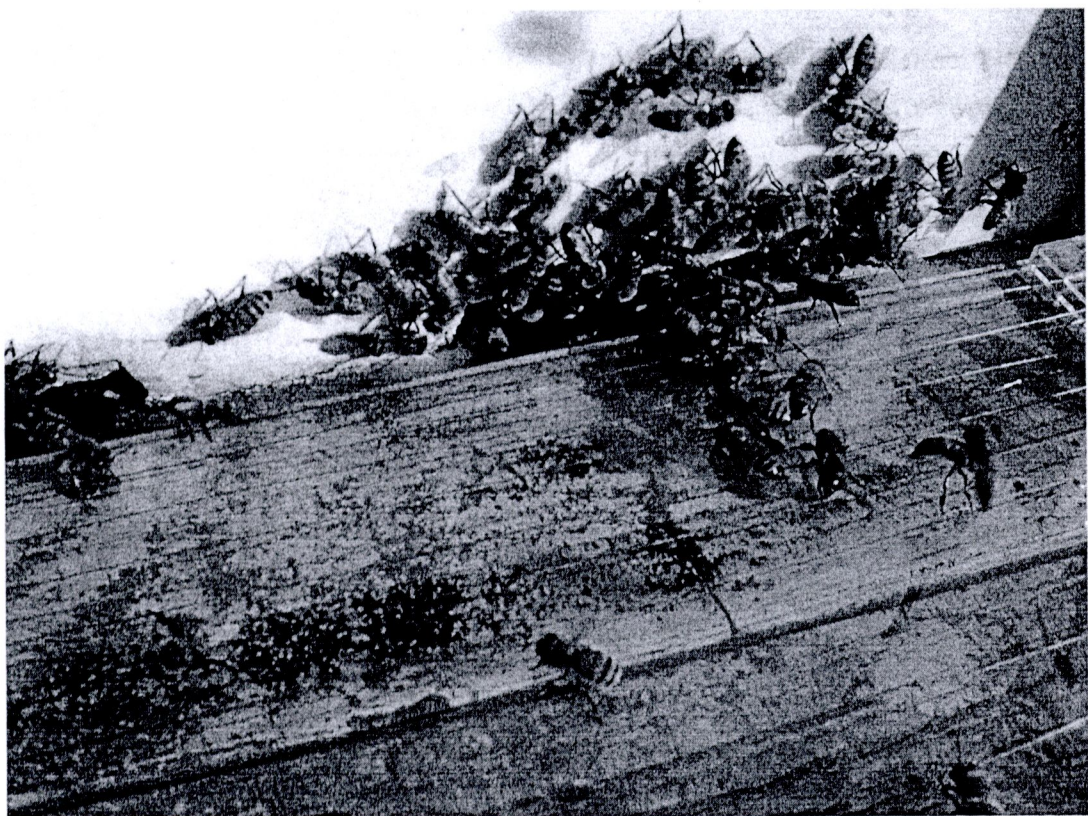
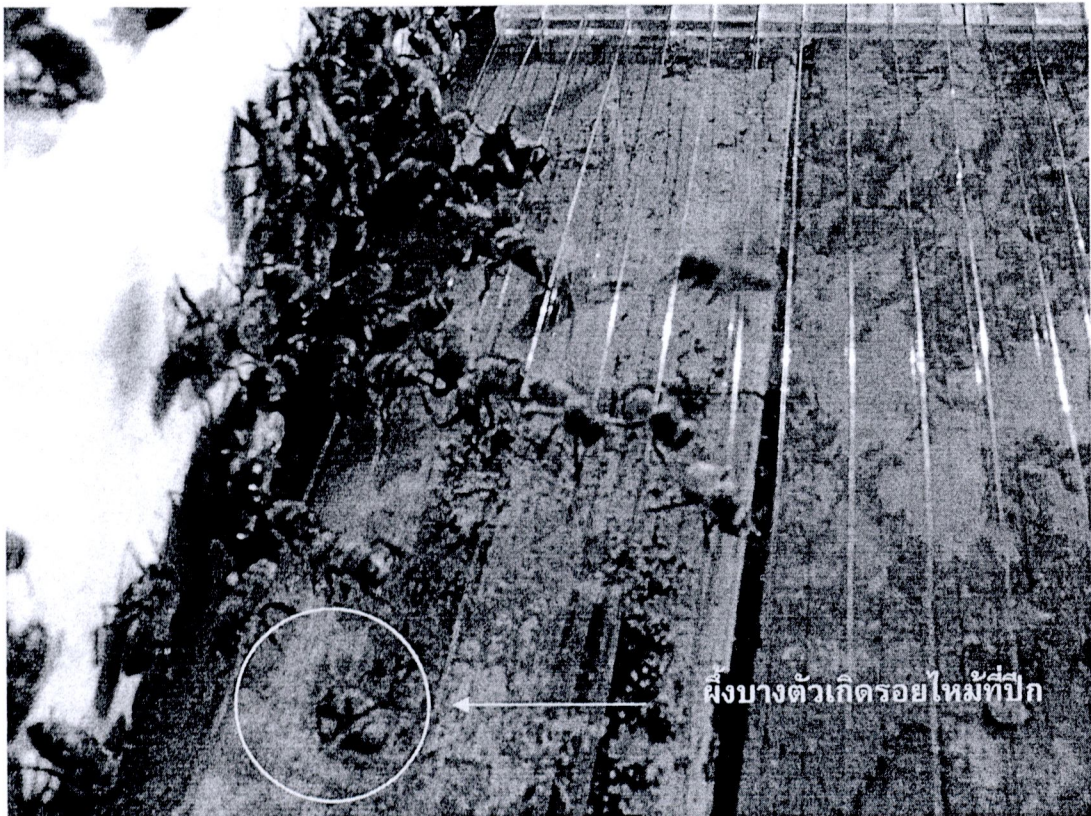


ผึ้งบังตัวเกิดรอยใหม่ที่ปีก



ผึ้งบังตัวเกิดรอยใหม่ที่ปีก

รูปที่ 4.27 กรณีศึกษาที่ 3 ผึ้งจะบินมารวมด้วยกันบนแผ่นกระจาจจำนวนมากขึ้นกว่าในกรณีศึกษาที่ 2 และมีบางตัวเกิดรอยใหม่ที่ปีก



รูปที่ 4.28 กรณีศึกษาที่ 4 ผึ้งจะบินมารวมตัวกันบนแผ่นกระจากจำนวนเท่ากับในกรณีศึกษาที่ 3 และ มีบางตัวเกิดรอยใหม่ที่ปัก